

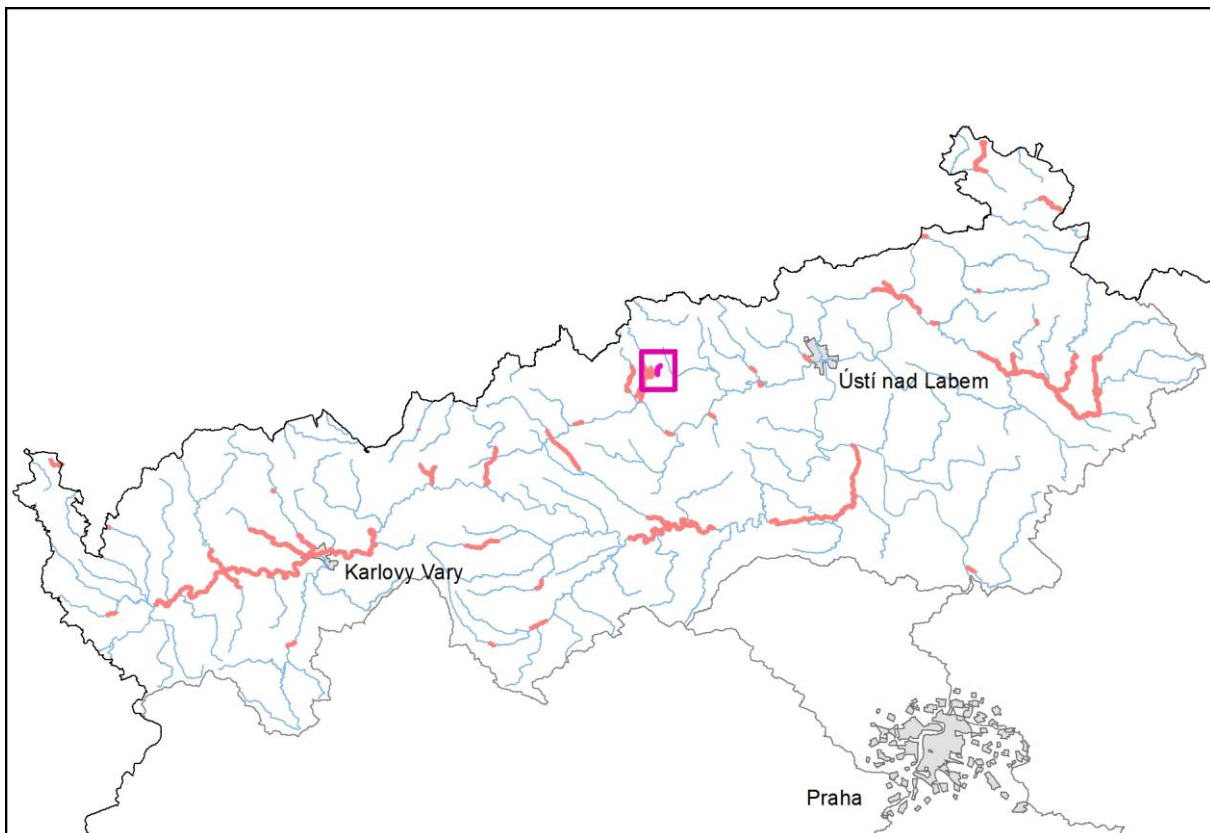


# ZPRACOVÁNÍ MAP POVODŇOVÉHO NEBEZPEČÍ A POVODŇOVÝCH RIZIK PRO OBLAST POVODÍ OHŘE A DOLNÍHO LABE

DÍLČÍ POVODÍ OHŘE, DOLNÍHO LABE A OSTATNÍCH PŘÍTOKŮ LABE

## B. TECHNICKÁ ZPRÁVA – HYDRODYNAMICKÉ MODELY A MAPY POVODŇOVÉHO NEBEZPEČÍ

RADČICKÝ POTOK – 10101232\_1 - Ř. KM 5,100 – 7,000



listopad 2013





OPERAČNÍ PROGRAM  
ŽIVOTNÍ PROSTŘEDÍ



EVROPSKÁ UNIE  
Fond soudržnosti

Pro vodu,  
vzduch a přírodu

# ZPRACOVÁNÍ MAP POVODŇOVÉHO NEBEZPEČÍ A POVODŇOVÝCH RIZIK PRO OBLAST POVODÍ OHŘE A DOLNÍHO LABE

## DÍLČÍ POVODÍ OHŘE, DOLNÍHO LABE A OSTATNÍCH PŘÍTOKŮ LABE

### B. TECHNICKÁ ZPRÁVA – HYDRODYNAMICKE MODELY A MAPY POVODŇOVÉHO NEBEZPEČÍ

RADČICKÝ POTOK – 10101232\_1 - Ř. KM 5,100 – 7,000

Pořizovatel:



Povodí Ohře

Povodí Ohře, státní podnik  
Bezručova 4219  
Chomutov  
430 03

Zhotovitel: sdružení „HYDROPROJEKT + Hydrossoft + AZ Consult“



Sustainable engineering and design

Sweco Hydropunkt a.s.  
Táborská 31  
Praha 4  
140 16



HYDROSOFT Veleslavín s.r.o.  
U Sadu 13/62  
Praha 6  
162 00



AZ Consult, spol. s r.o.  
Klíšská 12  
Ústí nad Labem  
400 01



OPERAČNÍ PROGRAM  
ŽIVOTNÍ PROSTŘEDÍ



EVROPSKÁ UNIE

Fond soudržnosti

Pro vodu,  
vzduch a přírodu

**Řešitel:**



VODNÍ CESTY a.s.

Na Pankráci 57

Praha 4

140 00



Sustainable engineering and design

Sweco Hydropunkt a.s.

Táborská 31

Praha 4

140 16

V Praze, listopad 2013

**Obsah:**

|          |  |           |
|----------|--|-----------|
| <b>1</b> | <b>Základní údaje .....</b>  | <b>7</b>  |
| 1.1      | Seznam zkratek a symbolů .....   | 7         |
| 1.2      | Cíle prací.....  | 7         |
| 1.3      | Předmět práce .....  | 7         |
| 1.4      | Postup zpracování a metoda řešení .....  | 7         |
| <b>2</b> | <b>Popis zájmového území .....</b>   | <b>9</b>  |
| 2.1      | Všeobecné údaje .....  | 10        |
| 2.2      | Průběhy historických povodní (největší zaznamenané povodně) .....                                | 10        |
| <b>3</b> | <b>Přehled podkladů.....</b>   | <b>11</b> |
| 3.1      | Topologická data.....  | 11        |
| 3.1.1    | Vytvoření (aktualizace) DMT .....  | 11        |
| 3.1.2    | Mapové podklady.....   | 11        |
| 3.1.3    | Geodetické podklady .....  | 12        |
| 3.2      | Hydrologická data .....  | 12        |
| 3.3      | Místní šetření .....   | 13        |
| 3.4      | Doplňující podklady – technické a provozní informace, zprávy, studie, dokumenty, literatura..... | 13        |
| 3.5      | Normy, zákony, vyhlášky .....  | 14        |
| 3.6      | Vyhodnocení a příprava podkladů .....  | 14        |
| <b>4</b> | <b>Popis koncepčního modelu .....</b>  | <b>15</b> |
| 4.1      | Schematizace řešeného problému.....  | 15        |
| 4.2      | Posouzení vlivu nestacionarity proudění.....   | 15        |
| 4.3      | Způsob zadávání OP a PP.....   | 15        |
| <b>5</b> | <b>Popis numerického modelu .....</b>  | <b>16</b> |
| 5.1      | Použité programové vybavení.....   | 16        |
| 5.2      | Vstupní data numerického modelu.....   | 16        |
| 5.2.1    | Morfologie vodního toku a záplavového území.....   | 16        |
| 5.2.2    | Drsnosti hlavního koryta a inundačních území .....   | 17        |
| 5.2.3    | Hodnoty okrajových podmínek .....  | 18        |
| 5.2.4    | Hodnoty počátečních podmínek .....   | 18        |
| 5.2.5    | Diskuze k nejistotám a úplnosti vstupních dat .....  | 18        |
| 5.3      | Popis kalibrace modelu .....   | 19        |
| <b>6</b> | <b>Výstupy z modelu .....</b>  | <b>20</b> |
| 6.1      | Záplavové čáry pro průtoky $Q_5$ , $Q_{20}$ , $Q_{100}$ a $Q_{500}$ .....                        | 24        |
| 6.2      | Hloubky pro průtoky $Q_5$ , $Q_{20}$ , $Q_{100}$ a $Q_{500}$ .....                               | 24        |
| 6.3      | Rychlosti pro průtoky $Q_5$ , $Q_{20}$ , $Q_{100}$ a $Q_{500}$ .....                             | 24        |
| 6.4      | Zhodnocení nejistot ve výsledcích výpočtu .....  | 25        |



## 1 Základní údaje

### 1.1 Seznam zkratek a symbolů

Tab. č. 1.1 Seznam zkratek a symbolů

| Zkratka   | Vysvětlení   |
|-----------|--|
| Bpv.      | Výškový systém Balt po vyrovnání                             |
| ČHMÚ      | Český hydrometeorologický ústav                              |
| ČOV       | Čistírna odpadních vod                                       |
| DMT       | Digitální model terénu                                       |
| DOP       | Dolní okrajová podmínka                                      |
| DPI       | Rozlišení dané počtem bodů na jeden palec ( 2,5cm)           |
| GIS       | Geografický informační systém                                |
| IDVT CEVT | Identifikátor vodního toku v Centrální evidenci vodních toků |
| MPN       | Mapy povodňového nebezpečí                                   |
| S-JTSK    | Souřadný systém – jednotná trigonometrická síť katastrální   |
| SOP       | Studie odtokových poměrů                                     |
| SZÚ       | Studie záplavových území                                     |
| VÚV TGM   | Výzkumný ústav vodohospodářský T. G. Masaryka                |
| ZABAGED   | Základní báze geografických dat                              |
| ZM10      | Základní mapa 1:10 000                                       |
| ZÚ        | Záplavové území  |

### 1.2 Cíle prací

Cílem prací je vyjádření povodňového nebezpečí na základě stanovení těchto charakteristik průběhu povodně:

- hranice rozливů,
- hloubky vody v záplavovém území,
- rychlosti proudění vody v záplavovém území.

Podstatou vyjádření povodňového nebezpečí je určení prostorového rozdělení uvedených charakteristik povodně a zpracování těchto údajů do podoby tzv. map povodňového nebezpečí. Ty slouží v dalším kroku jako podklad pro vyjádření povodňového rizika semikvantitativní metodou uvedenou v „Metodice tvorby map povodňového nebezpečí a povodňových rizik“.

### 1.3 Předmět práce

Předmět práce zahrnuje tyto činnosti:

- Popis postupů souvisejících se zajištěním vstupních podkladů – stávající + nové (dodatečné zaměření profilů, objektů atd.)
- Sestavení (aktualizace) hydrodynamických modelů a příslušné simulace
- Zpracování výsledků numerického modelování a vytvoření map povodňového nebezpečí (mapy rozливů, hloubek a rychlostí).

### 1.4 Postup zpracování a metoda řešení

Výchozím podkladem při zajišťování vstupů pro sestavení modelu byla data poskytnuta objednatelem ze studie „Studie záplavového území toku Radčický potok v ř. km 0,000 – 7,000“ provedené v listopadu 2007. Vypracovala společnost Vodní cesty a.s.

Po prostudování poskytnutých dat byl proveden terénní průzkum s cílem zjistit, zda poskytnutý rozsah geodetického zaměření je dostatečný a aktuální nebo bude třeba provést dodatečné zaměření. V průběhu terénního průzkumu byla pořízena nová fotodokumentace všech objektů na toku a vybraných profilů. Na základě místního šetření bylo shledáno původní zaměření za dostatečné a nebude nutné provést dodatečné zaměření. S ohledem na platnost hydrologických dat bylo nutné v zájmovém profilu hydrologická data (průtoky n-letých vod)

vydávaných ČHMÚ nechat znovu ověřit. U nových hydrologických dat byly shledány výrazné změny průtoků. Dále byla oproti hydrologickým údajům ze SZÚ datová řada doplněna o údaj hodnoty  $Q_{500}$ . Pro výpočet byly použity původní výpočetní tratě sestavené na základě zaměření z roku 2007. Údaje o průtocích byly pro nové stanovení záplavových území použity aktuální, viz níže uvedená tabulka průtoků. Výpočetní trať pro  $Q_{500}$ , byla nově upravena, nově byly dopočteny konzumpcní křivky objektů až do hodnoty průtoku  $Q_{500}$ . Hydraulické výpočty toku včetně objektů a inundačního území byly provedeny pro průtokové epizody  $Q_5$ ,  $Q_{20}$ ,  $Q_{100}$ ,  $Q_{500}$ .

Vzhledem k výrazné odlišnosti nových hydrologických dat, byly výpočty průběhu hladin a stanovení čar ZÚ provedeny zcela znovu.

Ze zobrazených, geodeticky zaměřených, bodů byly vybírány body vytvářející jednotlivé příčné profily tak, aby v maximální možné míře postihovaly složitost proudění převedenou do 1D matematického modelu. Tyto profily byly automaticky načteny do matematického modelu HYDROCHECK 1, verze 4.0 (ustálené nerovnoměrné proudění), ve kterém proběhlo další upřesňování tvarů některých profilů podle poznatků z terénního průzkumu.

Takto upravené profily byly dále rozděleny na dílčí úseky s rozdílnými hydraulickými charakteristikami (zejména podle tvaru příčného profilu a u mělčích profilů i podle změn drsnosti). Dílčí úseky se počítají samostatně a celoprofilové hodnoty jsou z nich následně vypočteny jako vážené průměry přes modul průtoku jednotlivých částí příčného profilu. Tento způsob výpočtu odstraňuje chybné deformace konzumpčních křivek a křivek rychlostí způsobené náhlým nárůstem hodnoty omočeného obvodu v úrovni vylití vody do inundačce a také chyby při průměrování rozdílných drsnostních charakteristik v jednotlivých profilech. V jednotlivých příčných profilech byly vymezeny aktivní a neaktivní zóny pro jednotlivé posuzované návrhové průtoky, ve kterých se proudění nepočítá. Příčné profily objektů byly s vypočtenými konzumpčními křivkami dolní vody načteny do programu HYDROCHECK 2 (výpočty objektů). Vypočtené konzumpční křivky jezů, zahlcených či případně přelévaných mostů, byly zpětně načteny do výpočtové trati nerovnoměrného proudění pro možnost souvislého výpočtu celého posuzovaného úseku. Výpočtová trať je funkční v celém rozsahu N-letých průtoků. Drsnost dna je zadána s ohledem na chod splavenin při povodňových průtocích.

Z výpočtové trati byly exportovány body průniků úrovní vypočtených hladin a průniků hladin energie s terénem v příčných profilech do GIS programu. Rozsah záplavových území byl konstruován s ohledem na rychlosť v inundačích, na rozdílné výšky hladin u nezávislých proudů v příčném profilu. Při konstrukci záplavových území byl také využíván videozáznam zájmového území a podrobná obhlídka terénu a geodetické zaměření území a digitální model terénu DMT4G v bodové podobě (rastr výškových bodů 5 x 5 m).

Rozsah záplavového území je stanoven dle platné vyhlášky Ministerstva životního prostředí č. 236/2002 Sb. pro nerovnoměrné ustálené proudění, což znamená, že nezohledňuje délku trvání povodně ani objem povodňové vlny. Proto i v místech širokých rozlivů hladina odpovídá stanovenému průtoku ČHMÚ, jež nezohledňuje transformaci povodňové vlny, ke které může dojít. V jedinělých případech, kde voda zaplavuje níže položená místa mimo hlavní tok (zaplavení lomů, nádrží, rybníků a pod), tedy místa, kde je rozsah záplavového území přímo závislý na délce trvání povodně (hladina je závislá na příteklém objemu), je zakreslené záplavové území minimální a v případě dlouhotrvajících kulminací, může být rozsah záplavy ve skutečnosti větší.

Výsledný základ záplavového území byl proveden nad ZM10 a černobílou ortofotomapou, předanou zadavatelem.

Průběhy rychlostí byly provedeny obdobným způsobem, a sice za pomocí exportu hranic jednotlivých rychlostních pásem do GIS prostředí, kde byly následně propojeny v souvislé oblasti reprezentující dané rychlostní pásmo. Tyto oblasti rychlostí byly generovány v souladu se zadáním pouze v oblasti inundačí, nikoliv ve vlastním korytě toku.

Průběhy obou typů čar byly upřesněny nad vytvořenou „Mapou hloubek“. Výsledky jsou prezentovány v podobě map povodňového nebezpečí v kapitole 6.

## 2 Popis zájmového území

Název toku: Radčický potok

ID úseku IDVT CEVT: 10 101 232

Číslo hydrologického pořadí toku: 1-14-01-0612-0-00 (Radčický potok)

Úsek toku: Litvínov ř. km 5,100 – 7,000 (ř. km 5,40 – 7,20 dle kilometráže modelu a SZÚ)

Významná vodní díla: v uvedeném úseku ani v jeho blízkosti se žádná významná vodní díla nenacházejí

Významné přítoky: Poustevnický potok (ř. km 6,40)

Radčický potok pramení v Krušných horách na jihovýchodním svahu vrchu Střelná (868 m n. m.). Protéká lesnatým údolím až do města Litvínov, kde protéká regulovaným korytem. Ve městě Litvínov se do Radčického potoka z levé strany vlévá Poustevnický potok. Dále tok protéká přes Louku u Litvínova, kde za železniční stanicí obtéká a napájí Plutovský rybník. Na konci obce je potok sveden do přeložky do Kláštoreckého (Loučenského) potoka.

Řešený úsek prochází městem Litvínov v upraveném korytě, jež je zejména v dolní polovině tvořeno větším množstvím spádových stupňů. Vlastní tok je veden mimo hustou zástavbu, v horní části je veden po okraji zástavby rodinných domů a zahrádkářské kolonie, po jejím opuštění je již tok veden mimo zastavěné území. Horní část toku je vedena v přeložce, jež je vedena přičným traversem na sklon úbočí, nejedná se zde tak o tok v klasickém údolnicovém profilu, z čehož vyplývá i poměrně netypické záplavové území, jež lze charakterizovat množstvím přeronů mimo vlastní koryto do oblastí bývalých těžebních jam.

Podklady:

Název toku - zdroj VÚV TGM

ID úseku IDVT CEVT - zdroj Ministerstvo zemědělství

Číslo hydrologického pořadí toku - zdroj ČHMÚ

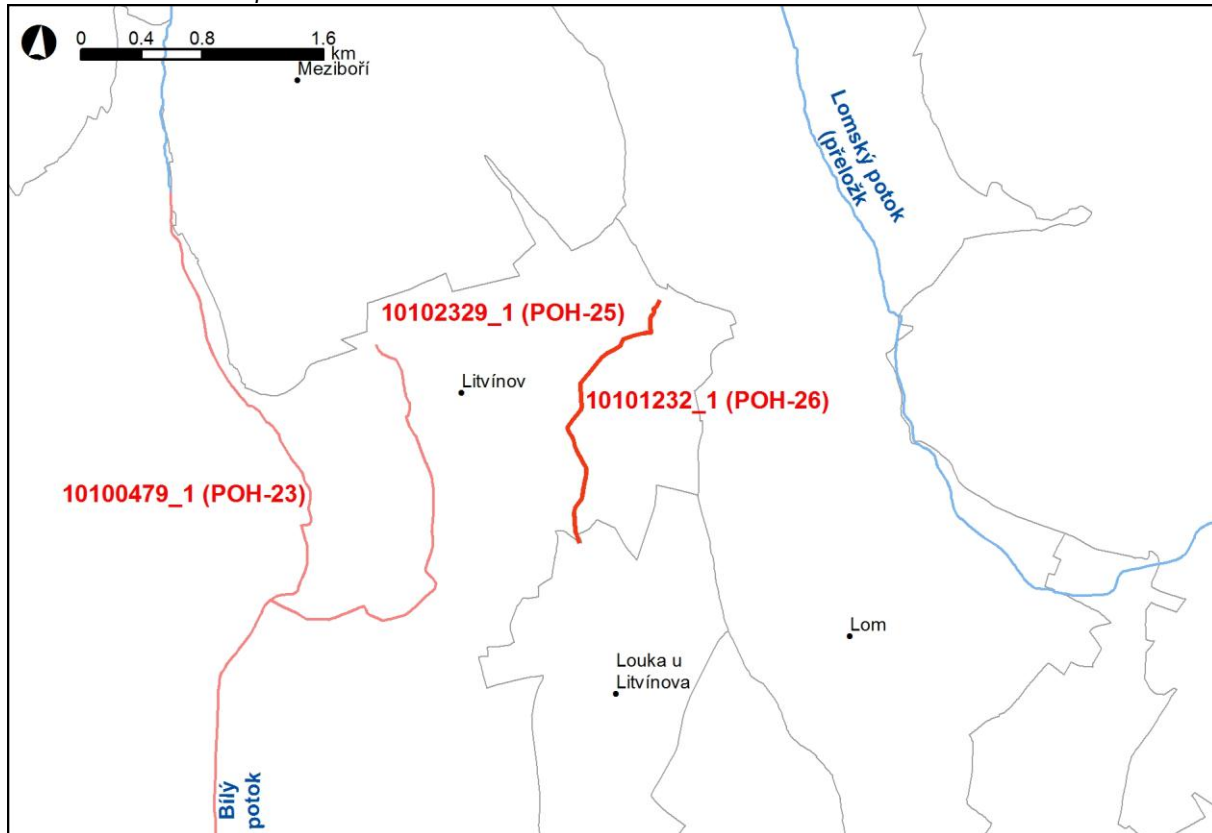
Úsek toku - zdroj Povodí Ohře, státní podnik

Významná vodní díla - zdroj ZM10

Významné přítoky - zdroj ZM10

Studie záplavového území – „Studie záplavového území toku Radčický potok v ř. km 0,000 – 7,000“, Vodní cesty a.s., 2007

Obr. č. 1 Přehledná mapa řešeného území



## 2.1 Všeobecné údaje

V rámci této studie byl posuzován úsek toku Radčický potok v ř. km 5,10 až po ř. km 7,00, dle kilometráže uvedené zadavatelem. Úsek byl však zadavatelem přesně vymezen pomocí začátku a konce úseku v souřadnicích S-JTSK:

začátek úseku: x = 979007, y = 790461

konec úseku: x = 977402, y = 789946

**Staničení uvedené ve výpočetním modelu a použité při zpracování map povodňového nebezpečí bylo převzato ze studie SZÚ, řešený úsek vymezený výše uvedenými souřadnicemi má dle používaného staničení modelu ř. km 5,04 – 7,02.**

Řešený úsek prochází městem Litvínov v upraveném korytě, jež je v úseku ř. km 5,30 - 6,0 tvořeno větším množstvím spádových stupňů. Vlastní tok je veden mimo hustou zástavbu, v horní části ř. km 6,4 – 6,9 je veden po okraji zástavby rodinných domů a zahrádkářské kolonie, po jejím opuštění je již tok veden mimo zastavěné území. Horní část toku je vedena v přeložce ř. km 6,1 – 6,8, jež je vedena přičným traverzem na sklon úbočí, nejedná se zde tak o tok v klasickém údolnicovém profilu, z čehož vyplývá i poměrně netypické záplavové území, jež lze charakterizovat množstvím přerovů mimo vlastní koryto do oblastí bývalých těžebních jam, nebo odbočení proudů vedoucích zcela mimo vlastní koryto.

## 2.2 Průběhy historických povodní (největší zaznamenané povodně)

Na řešeném úseku nebyly dohledány záznamy o prošlých povodních.

### 3 Přehled podkladů

V souladu s vyhláškou č. 236/2002 Sb. byly použity pro zpracování návrhu záplavového území tyto podklady. Pravidla pro citace podkladů se řídí dle ČSN ISO 690 (01 0197).

- Základní mapy 1 : 10 000 – digitální, rastrové – ZAGAGED, poskytlo Povodí Ohře, státní podnik
- Výskopisná data DMR 4G, copyright ČÚZK, MO ČR, MZe ČR, 2010
- Geodeticke zaměření – geodeticke kancelář Intergeos., září 2007:
- Výsledky hydraulické výpočtu nerovnoměrným prouděním (program Hydrocheck)
- Hydrologická data: N-leté průtoky – ČHMÚ Ústí nad Labem, 30. 1. 2012
- Podrobný terénní průzkum zpracovatele, uskutečněny v říjnu 2011, zaměřený na zmapování stavu koryta, inundací a objektů na toku
- Zákon č. 254/2001 Sb. - o vodách
- Vyhláška MŽP 236/2002 Sb. – o způsobu a rozsahu zpracování návrhu a stanovování záplavových území
- TNV: 75 2931 - Povodňové plány, 75 2102 - Úpravy potoků, 75 2103 - Úpravy řek, 75 2932 – Navrhování záplavových území
- Metadata poskytnutá Zeměměřičským úřadem k aktuální verzi ZM 10

#### 3.1 Topologická data

Topologická data jsou základním zdrojem, který je potřebný pro sestavení hydrodynamického modelu. Pomocí nich je možné popsat řešené území, sestavit digitální model terénu a vytvořit vhodnou schematizaci modelu. Jednotlivé topologické podklady jsou popsány v následujících kapitolách.

##### 3.1.1 Vytvoření (aktualizace) DMT

Digitální model terénu byl sestaven z Digitálního modelu reliéfu České Republiky 4. generace DMR 4G od ČÚZK a pro zpřesnění oblasti koryta byly použity 3D terénní hrany břehů a hladiny, které zpracovala společnost GEODIS BRNO, spol. s r.o. Sestavení DMT proběhlo v softwaru společnosti ESRI v ArcGIS pomocí extenze 3D Analyst. DMT byl vygenerován ve formátu ESRI tin, který se převedl do formátu georeferencovaný tif s velikostí pixelu 2 x 2 m.

##### 3.1.2 Mapové podklady

Pro potřeby studie byla vybrána Základní mapa České republiky 1:10 000 (ZM 10) aktualizovaná Zeměměřickým úřadem v roce 2011. Jedná se o nejpodrobnější základní mapu středního měřítka.

ZM 10 obsahuje polohopis, výskopis a popis. Předmětem polohopisu jsou sídla a jednotlivé objekty, komunikace, vodstvo, hranice správních jednotek a katastrálních území (včetně územně technických jednotek), hranice chráněných území, body polohového a výškového bodového pole, porost a povrch půdy. Předmětem výskopisu je terénní reliéf zobrazený vrstevnicemi a terénními stupni. Popis mapy sestává z druhového označení objektů, standardizovaného geografického názvosloví, kót vrstevnic, výškových kót, rámových a mimorámových údajů. Obsahem mapových listů je i rovinatá pravoúhlá souřadnicová síť a zeměpisná síť. Předměty obsahu mapy jsou znázorněny pouze na území České republiky. Míra generalizace polohopisu je na takové úrovni, že nedochází k rozsáhlejšímu spojování jednotlivých staveb do bloků a ke zjednodušování tvarů. Mapa tak poskytuje velmi podrobnou představu o zobrazovaném území.

Data ZM 10 se stavem aktualizace v roce 2009 a dříve byly odvozovány z vektorových výstupů, které vznikaly v průběhu tvorby vizualizací ZABAGED®. Jejich rasterizaci a následnou transformací do souřadnicového systému S-JTSK vznikl obraz státního území, který byl strukturovaný po listech ZM 10. Dalším zpracováním byla pořízena barevná bezešvá rastrová mapa s barevnou hloubkou 4 bit, jednotnou barevnou paletou a hustotou 400 dpi. Z důvodu nižší kvality rozlišení těchto výstupů bylo v roce 2011 přistoupeno k nahrazení těchto souborů novými rastry, které vznikly přímým odvozením z tiskových podkladů ZM 10. Tyto rastry mají barevnou hloubku 24 bit a rozlišení 800 dpi. Data ZM 10 se stavem aktualizace v roce 2010 a později jsou odvozovány přímo z postscriptových souborů nové technologické linky. Tyto soubory jsou službou aplikačního serveru rastrovány s rozlišením 800 dpi, barevnou hloubkou 8 bit a jednotnou barevnou paletou. Do doby pokrytí celého území ČR soubory z nové technologické linky budou uživatelům poskytovány vždy obě datové sady. Tvorbu a aktualizaci ZM 10 zajišťuje Zeměměřický úřad.

ZM 10 je distribuována ve formátu TIF po segmentech bezešvé mapy – čtvercích 2 x 2 km, se stranami rovnoběžnými se souřadnicovými osami S-JTSK.. Kromě grafického umisťovacího souboru je dodáván textový umisťovací soubor TFW a to pro zobrazení S-JTSK / Krovak EN. Tento soubor obsahuje souřadnice levého horního rohu umisťovacího čtverce a velikost pixelu v metrech pro dané rozlišení souboru. Předané soubory TIF mají rozlišení 3149 x 3149 (72DPI).

### 3.1.3 Geodetické podklady

Jak již bylo zmíněno v kapitole 1.4, pro potřeby stanovení záplavového území a mapy rychlostí nebylo nutné provést nové geodetické zaměření. Při stavbě modelu bylo použito zaměření provedené pro potřeby SZÚ. Veškeré terénní i kancelářské práce provedla v srpnu - září 2007 geodetická společnost Intergeos ve složení Ing. Jan Kubricht, Ivana Zukalová, Tomáš Veselý a Michal Jiráček. Měření bylo provedeno elektronickým dálkoměrem Wild TC 1610 a TCR 307 polární metodou ze stanovisek, které byly podél toku vybudovány metodou GPS a z přilehlých bodů ZBP. Zaměření se sestávalo z množství samostatných bodů (XYZ) jež jsou zaměřovány v místě vyznačených profilů určených zpracovatelem na základě podrobné terénní prohlídky toku. Body charakterizují významné terénní lomy inundace a samotného koryta (dno, břehové hrany, paty a koruny svahů, linie plotů, rohy budov apod.)

Pro přesnější vynesení průběhu záplavových čar byl k dispozici datový model terénu označený jako DMT4G, který poskytlo Povodí Ohře, státní podnik.

**Použitý výškový systém: Bpv – Balt po vyrovnání**

**Použitý souřadný systém: S-JTSK (souřadný systém jednotné trigonometrické sítě katastrální)**

## 3.2 Hydrologická data

Vodní tok: Radčický potok

Datum pořízení: 30. 1. 2012

Vydal: ČHMÚ, pobočka Ústí nad Labem

N-leté průtoky: viz tabulka č. 3.1

Tab. č. 3.1 N-leté průtoky ( $Q_N$ ) v  $m^3.s^{-1}$

| Hydrologický profil                                   | Datum pořízení | Říční kilometr | $Q_5$ | $Q_{20}$ | $Q_{100}$ | $Q_{500}$ | Třída přesnosti |
|---|----------------|----------------|-------|----------|-----------|-----------|-----------------|
| Nad odbočením do přeložky, pod obcí Louka u Litvínova | 30. 1. 2012    | 3,45           | 5,6   | 11,4     | 21,5      | 36,2      | IV.             |
| Nad soutokem s Poustevnickým potokem                  | 30. 1. 2012    | 6,40           | 2,42  | 4,91     | 9,3       | 15,7*     | IV.             |

\* hodnota  $Q_{500}$  byla dopočtena na základě poměru  $Q_{500}/Q_{100}$  z předchozího úseku

### 3.3 Místní šetření

Nový terénní průzkum byl proveden 30. 10. 2011

Během průzkumu byla pořízena aktuální fotodokumentace všech objektů na toku a významných částí koryta.

Posuzované území tvoří koryto Radčického potoka v ř. km 5,04 – 7,02, jež je vedeno v novém trasování oproti původnímu korytu Radčického potoka. Koryto je z větší části upraveno do lichoběžníkového koryta s množstvím objektů – spádových stupňů, lávek a mostků.

Zastavěné území je tvořeno bytovou zástavbou města Litvínov a zahrádkářskými koloniemi v tomtéž městě.

**Charakter zástavby** v daném úseku je charakter zástavby nepravidelný a roztríštěný. V horním úseku v ř. km 6,7 – 6,9 se na pravém břehu nachází bytová zástava - rodinné domy. Rodinné domy se pak ještě nacházejí v na pravém břehu v ř. úseku 5,7 – 5,85. V úseku ř. km 6,3 – 6,8 se na levém břehu nachází zahrádkářská kolonie. Dále se v úseku nacházejí objekty garáží a v úseku ř. km 5,4 – 5,55 na levém břehu areál rybářství. Jiné významné objekty se na toku nenacházejí.

**Zemědělsky využívané plochy** se v zájmovém území zemědělsky využívané plochy nenacházejí, vyjma úseku ř. km 6,0 – 6,2 kde tok prochází areálem zahradnictví.

**Lesní porosty** se nacházejí v dolní části toku a to v úseku ř. km 5,04 – 5,6.

**Doprovodná zeleň**, se na toku vyskytuje v úsecích mimo zástavbu, kde je tvořena lesním porostem – listnaté neudržované porosty. Ve vlastní zástavbě je koryto upravené bez doprovodné zeleně.

**Koryto vodního toku** je tvořeno v horní části nepravidelným tvarem ř. km 7,02 – 6,70. V ř. km 7,0 je na toku umístěna štěrková přehrážka. Koryto v zástavbě pak přechází z nepravidelného tvaru na upravený obdélníkový průřez ř. km 6,70 – 6,20, kde v areálu zahradnictví přechází na lichoběžník. V areálu zahradnictví je koryto vedeno na vrcholu kopce a je navýšeno bočními hrázkami, což znamená, že po vybředení voda odtéká na obou stranách koryta ve směru vrstevnic dále od vlastního toku. Lichoběžníkový profil si koryto podrží až do konce řešeného úseku. Podélňý profil toku se značně mění, mimo úsek vedený v areálu zahradnictví, kde je sklon koryta téměř nulový, je zbytek řešeného úseku charakterizován velkým sklonem, jež je zmírňován množstvím spádových stupňů.

**Inundační území** klasického typu se na řešeném úseku vyskytuje pouze v dolní části v ř. km 5,3 – 5,04. V ostatních částech je inundační území skloněno směrem od toku, což má za následek vznik bočních proudů směřujících mimo vlastní koryto toku. Jak je patrné ze záplavového území, některé boční proudy na levém břehu směřují do původních těžebních jam – dnes zatopených, naopak na pravém břehu se proud odchyluje od koryta, avšak ke konci úseku se s ním opět spojuje. Tyto boční proudy je velmi obtížné lokalizovat, neboť jejich směr závisí jednak na množství vybředené vody, ale zejména na drobných nuancích terénu, kde i malá terénní vyvýšenina dokáže proud odchýlit a přesměrovat.

### 3.4 Doplňující podklady – technické a provozní informace, zprávy, studie, dokumenty, literatura

Kromě již výše uvedených podkladů nebyly jiné používány.

### 3.5 Normy, zákony, vyhlášky

Postupy zpracování studie byly v souladu s níže uvedenými dokumenty v jejich platném znění:

- [1] ČSN 75 0110 Vodní hospodářství – Terminologie hydrologie a hydroekologie
- [2] ČSN 75 1400 Hydrologické údaje povrchových vod.
- [3] TNV 75 2102 Úpravy potoků.
- [4] TNV 75 2103 Úpravy řek.
- [5] ČSN 75 2410 Malé vodní nádrže.
- [6] TNV 75 2415 Suché nádrže.
- [7] TNV 75 2910 Manipulační řady vodních děl na vodních tocích.
- [8] TNV 75 2931 Povodňové plány.
- [9] Zákon č. 240/2000 Sb. o krizovém řízení a změně některých zákonů (krizový zákon).
- [10] Nařízení vlády č. 462/2000 Sb., k provedení §27 odst. 8 a §28 odst. 5 zákona č. 240/2000 Sb., o krizovém řízení a o změně některých zákonů (krizový zákon).
- [11] Vyhláška MŽP 236/2002 Sb., o způsobu a rozsahu zpracovávání návrhu a stanovování záplavových území.
- [12] Vyhláška č. 178/2001 Sb., kterou se stanoví seznam významných vodních toků a způsob provádění činností souvisejících se správou vodních toků.
- [13] Zákon č. 114/1992 Sb., o ochraně přírody a krajiny.

### 3.6 Vyhodnocení a příprava podkladů

Poskytnuté podklady plně pokryly zájmové území. Původní profily musely být místy rozšířeny, protože v původní SZÚ nebyl řešen průtok  $Q_{500}$ . Pro rozšíření profilů bylo použito podkladu DMR4G, jehož přesnost je pro potřeby modelu v okrajových částech inundace dostatečná. Geodetické doměření nebylo z hlediska upřesnění modelu pro  $Q_{500}$  nutné.

## 4 Popis koncepčního modelu

Základním požadavkem na zpracování záplavových území je provádění výpočtů metodou ustáleného nerovnoměrného proudění. Pro tento typ výpočtu byl zvolen program HYDROCHECK ver. 4.0.

Jedná se o programový prostředek vyvinutý společností Hydrosoft Veleslavín s.r.o. v devadesátých letech ve spolupráci s Podniky povodí. Řeší ustálené nerovnoměrné proudění v otevřených neprizmatických korytech v režimových oblastech říčních i bystřinných. Základem řešení nerovnoměrného proudění je obecná metoda po úsecích. Významné objekty byly počítány funkčními programu Hydrocheck jako objekty a jsou ve výpočetní trati charakterizovány konsumpcními křivkami a příslušnými příčnými řezy.

Program Hydrocheck je mimo jiné vhodným nástrojem pro posuzování aktivní zóny, či hodnocení map rizik, neboť umožnuje vyhodnocování svislicových rychlostí v příčném řezu. Díky tomu je možné vyhodnocovat rychlosti v inundaci a vytvářet mapu rychlostí jako plošnou informaci, nikoliv jen bodovou.

### 4.1 Schematizace řešeného problému

Schéma modelu je v souladu se SZÚ jednorozměrné (1D). Vzhledem k charakteru toku, úzké koryto bez širokých plochých inundací a bočních proudů, je schematizace naprostě dostatečná a danému toku a účelu odpovídající. Vzdálenost příčných řezů je nepravidelná a jejich umístění je zaměřeno primárně na charakteristická místa toku, náhlé změny profilu toku, objekty na toku apod. V místech s prizmatickým korytem nebo neměnící se tratí je vzdálenost řezů větší, v případě objektů nebo náhlých změn tvarů koryta jsou řezy zahuštěny.

### 4.2 Posouzení vlivu nestacionarity proudění

Výpočetní model, jakožto metodika stanovení záplavového území, nepočítá s vlivem neustáleného proudění na odtokové poměry území (v souladu s Metodikou zpracování SZÚ), nicméně vliv nestacionarity je v daném úseku prakticky zanedbatelný. Koryto je upravené, inundace zastavěna a její retenční schopnost je vzhledem k délce úseku minimální. Hydrologická data ČHMÚ N-leté průtoky jsou bez vlivu transformace.

### 4.3 Způsob zadávání OP a PP

Jak bylo uvedeno v kap. 4.2, jedná se o výpočet nerovnoměrného ustáleného proudění v otevřeném korytě. Do výpočetního modelu se tak zadává okrajová podmínka v dolním výpočtovém profilu v podobě hladiny a průtoku. V místě významných přítoků, pro které jsou k dispozici hydrologické údaje, se zadává změna průtoku. Jiné okrajové ani počáteční podmínky výpočtu se nezadávají.

Vnitřními podmínkami jsou pak údaje o drsnostních charakteristikách a ztrátových součinitelích.

## 5 Popis numerického modelu

### 5.1 Použité programové vybavení

Vlastní výpočty byly prováděny metodou ustáleného nerovnoměrného proudění v programu HYDROCHECK 4.0, který se osvědčil při výpočtech obdobných studií a je běžně používán pro studie SZÚ. Základní výhodou tohoto programu je možnost rozdelení příčného profilu na libovolné segmenty podle charakteru proudění v jednotlivých částech příčného profilu – dílčí profily. Program zobrazuje i podrobné rozdelení rychlostí v příčném profilu. Pro výpočty konsumpčních křivek významných objektů byl použit nástroj - výpočty objektů Hydrocheck 2.

Kromě metody nerovnoměrného proudění bývá užíváno i nástroj rovnoměrného proudění pro stanovení konsumpční křivky dolní okrajové podmínky, pokud tato není zadána hladinou na soutoku, běžně až u větší toku, nebo u toků u kterých již bylo dříve stanoveno SZÚ.

Pro vynášení záplavových čar z vypočtených úrovni hladin do mapového podkladu je využíváno funkcí Hydrochecku, který generuje vypočtené průsečíky hladin v profilech, a tyto jsou následně v GIS prostředí načítány do mapového podkladu, kde je na základě geomorfologických informací (zaměření, DMT, vrstevnice podklad ZM 10, místní šetření) zakreslen rozsah záplavového území pro danou průtokovou epizodu.

### 5.2 Vstupní data numerického modelu

Základem prací na studii je podrobný terénní průzkum. Na základě terénního průzkumu a kvalitní fotodokumentace jsou určeny drsnostní charakteristiky a později vynášeny záplavové čáry a aktivní zóna.

Podkladem pro práci bylo podrobné geodetické zaměření v rozsahu potřebném pro jednorozměrný matematický model, tedy příčné a údolní profily a veškeré objekty. Kromě toho byly pro vynášení záplavové čáry a aktivní zóny použity všechny měřené body v rámci TPE.

Základním prvkem zadání je příčný profil - jeho geometrický tvar a rozměry, včetně součinitele drsnosti omočeného profilu.

Průtočný profil je možno rozdělit pomocí fiktivních svislic na vlastní koryto a přilehlé části inundace, ohraničené svislými rovinami, vedenými například v linii břehové hrany koryta – dílčí profily. Jednotlivé části příčného profilu mají různou drsnost a s tím souvisí i různé rychlosti proudění a výsledná poloha hladiny vody v profilu.

Na základě fotodokumentace a poznámek získaných při rekognoskaci terénu byly voleny hodnoty Manningova drsnostního součinitele „n“ pro jednotlivé části omočeného profilu.

Kromě vytvoření geometrického modelu říční sítě včetně objektů je pro simulace nerovnoměrného proudění nutné zadat okrajové podmínky. Jedná se především o průtok a označení počátečního (popřípadě koncového) profilu, ve kterém má být průběh proudění řešen. Dále se zadává hladina v počátečním profilu, pokud není zvolen režim jejího automatického výpočtu z konsumpční křivky, případně hladiny určené rovnoměrným prouděním na základě známého sklonu koryta.

#### 5.2.1 Morfologie vodního toku a záplavového území

Část popisu je již uvedena v kapitole 3.3 Místní šetření.

Popis objektů na toku, je uváděn ve směru po proudu, staničení se vtahuje ke staničení použitému v modelu.

- |             |   |
|-------------|---|
| ř. km 6,997 | štěrková přehrážka  |
| ř. km 6,981 | betonová lávka pro pěší                                     |
| ř. km 6,928 | betonový propustek pod silnicí Lom – Litvínov               |
| ř. km 6,915 | složený propustek (obdélník + trouba) pod místní komunikací |

|             |   |
|-------------|---|
| ř. km 6,905 | spádový stupeň                            |
| ř. km 6,884 | spádový stupeň                            |
| ř. km 6,862 | spádový stupeň                            |
| ř. km 6,857 | betonová lávka pro pěší                   |
| ř. km 6,818 | betonová lávka pro pěší                   |
| ř. km 6,784 | betonová lávka pro pěší + potrubní vedení |
| ř. km 6,698 | betonová lávka k brance                   |
| ř. km 6,562 | betonová lávka k brance                   |
| ř. km 6,502 | betonová lávka k brance                   |
| ř. km 6,436 | betonová lávka pro pěší                   |
| ř. km 6,402 | betonová lávka pro pěší                   |
| ř. km 6,240 | spádový stupeň                            |
| ř. km 6,158 | spádový stupeň + odběr vody               |
| ř. km 5,995 | betonová lávka pro pěší                   |
| ř. km 5,990 | spádový stupeň                            |
| ř. km 5,871 | spádový stupeň                            |
| ř. km 5,792 | betonový mostek                           |
| ř. km 5,725 | dřevěný mostek                            |
| ř. km 5,549 | propustek pod silnicí I/27                |
| ř. km 5,511 | stupeň + odběr vody pro rybářství         |
| ř. km 5,411 | spádový stupeň                            |
| ř. km 5,394 | spádový stupeň                            |
| ř. km 5,381 | spádový stupeň                            |
| ř. km 5,352 | betonový mostek na místní komunikaci      |
| ř. km 5,347 | spádový stupeň                            |
| ř. km 5,310 | spádový stupeň                            |
| ř. km 5,285 | spádový stupeň                            |
| ř. km 5,040 | betonový mostek místní komunikace         |

Jak je uvedeno již v jiných kapitolách, mostní objekty jsou do výpočtu zahrnuty pomocí vlastních konzumptivních křivek, jež byly vypočteny pomocí samostatného modulu Hydrocheck 2 určeného pro výpočet objektů. Jezové objekty a spádové stupně jsou počítány jako přepad přes obecné jezové těleso se zahrnutím součinitele zatopení na základě známé úrovně dolní vody, jež vzešla z výpočtu úseku pod objektem. Mostní objekty jsou počítány až do doby zahlcení jako vlastní profil koryta, po zahlcení jsou pak počítány jako objekty skládající se z kombinace výtoku vody otvorem a přepadu přes širokou korunu – přepad vody přes mostovku. I tyto objekty jsou uvažovány se správnou úrovní dolní vody vzešlou z výpočtu spodního úseku. Při výpočtu se jeden objekt skládá minimálně ze dvou profilů a to profilu pod objektem, jež slouží pro správné určení dolní vody těsně pod objektem a dále z profilu objektu, jež je uvažován v místě jeho návodní strany, často bývají tyto profily doplněny i profilem nad objektem, jež je umístěn cca 2 – 5 m nad návodní hranou objektu.

## 5.2.2 Drsnosti hlavního koryta a inundačních území

Drsnostní charakteristiky použité ve výpočetním modelu jsou zadány výhradně pomocí Manningova drsnostního součinitele, i když výpočetní model Hydrocheck dovoluje i zadání pomocí jiných parametrů. Nicméně Manningův drsnostní součinitel byl zvolen z důvodů jeho značné rozšířenosti a rovněž z důvodů absence přesných podkladů

pro zadání drsností pomocí jiných metod (například zrnitostní rozbor dna apod., jež z pochopitelných důvodů prováděny nebyly).

Drsnostní součinitel je zadáván v jednotlivých příčných řezech a to v odlišných hodnotách jak pro jednotlivé části inundací, tak i pro jednotlivé části koryta, na základě již výše uvedené pořízené fotodokumentace a rekognoskace terénu.

#### Odhad drsností pro N-leté průtoky

Pro drsnost dna byly použity tyto hodnoty: n=0,020 - 0,050

Pro drsnost svahů:

|                 |                 |
|-----------------|-----------------|
| beton           | n=0,015 - 0,025 |
| dlažba na sucho | n=0,025 - 0,035 |
| tráva           | n=0,030 - 0,040 |
| keře, vrbičky   | n=0,040 - 0,085 |

Pro inundace:

|                              |  |
|------------------------------|--|
| tráva                        | n=0,030 - 0,045                                    |
| pole                         | n=0,030 - 0,050                                    |
| les                          | n=0,070 - 0,090                                    |
| zahrady podle hustoty        | n=0,040 - 0,800                                    |
| zahrady s ploty kolmo na tok | n=0,070 - 0,100, nebo<br>zadáno jako pasivní území |
| domy                         | zadáno jako pasivní území                          |
| silnice, cesty               | n=0,020 - 0,035                                    |

Vliv vegetace je do výpočtu zahrnut vždy v nejméně příznivé situaci, to znamená při plném vegetačním období.

#### 5.2.3 Hodnoty okrajových podmínek

Dolní okrajové podmínky tvoří N-leté průtoky, jež byly získány od ČHMU v lednu 2012. Jednalo se o profily nad odbočením do přeložky pod obcí Louka u Litvínova v ř. km 3,45 a nad soutokem s Poustevnickým potokem v Litvínově v ř. km 6,40. Jelikož řešený úsek je pouze výrezem delší výpočetní trati, byla jako dolní okrajová podmínka zvolena hladina v profilu spádového stupně v ř. km 4,927. Konsumpční křivka tohoto profilu vychází z výpočtu nerovnoměrného proudění níže položené trati a výpočtu jako objektu, přičemž křivka byla prodloužena výpočtem objektu až do průtoku Q<sub>500</sub>.

Tabulka - N-leté povodňové průtoky uvažované při hydraulickém řešení

| Úsek / N-leté průtoky Q <sub>N</sub> | Úsek toku (km od - do) | Q <sub>5</sub> | Q <sub>20</sub> | Q <sub>100</sub> | Q <sub>500</sub> | Poznámka |
|--------------------------------------|------------------------|----------------|-----------------|------------------|------------------|----------|
| Litvínov                             | 5,04 – 6,40            | 5,6            | 11,4            | 21,5             | 36,2             |          |
| Litvínov                             | 6,40 – 7,02            | 2,42           | 4,91            | 9,30             | 15,7             |          |

#### 5.2.4 Hodnoty počátečních podmínek

Výpočet byl řešen pomocí ustáleného proudění.

#### 5.2.5 Diskuze k nejistotám a úplnosti vstupních dat

Vstupní data byla pro zpracování studie dostatečná a z hlediska sestavení 1D modelu úplná.

### 5.3 Popis kalibrace modelu

Jelikož v daném území nejsou známé žádné povodňové značky, u kterých by zároveň byl znám příslušný průtok, nebyla zvláštní kalibrace modelu prováděna.

Nicméně lze konstatovat, že výpočet proudění lze v daném úseku provádět s vysokou mírou vypovídací schopnosti i bez dodatečné kalibrace, zejména při zkušenosti, kdy hodnoty hladin zaznamenané při povodňových průtocích jsou zejména v intravilánu významně ovlivněny ucpáním mostních objektů plaveninami. S takovým scénářem, však dle Metodiky SZÚ počítáno není, tedy vliv zacpání mostních objektů není ve výpočtu zahrnut. Proto by byla kalibrace na takovéto povodňové značky zavádějící a ve výsledku by vedla ke zcela chybným výsledkům. Na data měřená v měrných profilech ČHMÚ nebo příslušného povodí se rovněž v případě extrémních povodní nelze spoléhat, neboť tyto profily často bývají ovlivněny zpětným vzdutím, nebo jsou zcela zaplaveny.

## 6 Výstupy z modelu

Hlavním výstupem z matematického modelu je psaný podélný profil, jež je zpracován pro všechny průtokové epizody a jež je hlavním nástrojem pro tvorbu záplavových čar. Psaný podélný profil kromě vypočtené úrovně hladiny obsahuje i informaci o výšce dna (nejhlubší dno), úroveň levého a pravého břehu (břehová hrana) a dále úrovně spodní hrany mostovky mostních objektů. Profil je doplněn o poznámku, upřesňující umístění daného příčného řezu.

Tab. č. 6.1 Výpočet úrovně hladin – Radčický potok – město Litvínov

| Profil   | Staničení km | Dno m n.m. | LB m n.m. | PB m n.m. | HI, Q <sub>5</sub> m n.m. | Q <sub>5</sub> m <sup>3</sup> /s | HI, Q <sub>20</sub> m n.m. | Q <sub>20</sub> m <sup>3</sup> /s | HI, Q <sub>100</sub> m n.m. | Q <sub>100</sub> m <sup>3</sup> /s | HI, Q <sub>500</sub> m n.m. | Q <sub>500</sub> m <sup>3</sup> /s | Sp. most. m n.m. | Poznámka,           |
|----------|--------------|------------|-----------|-----------|---------------------------|----------------------------------|----------------------------|-----------------------------------|-----------------------------|------------------------------------|-----------------------------|------------------------------------|------------------|---------------------|
| PF_68_DV | 5,038        | 304,33     | 306,52    | 306,13    | 305,35                    | 5,60                             | 305,64                     | 11,40                             | 306,05                      | 21,50                              | 306,39                      | 36,20                              |                  |                     |
| PF_68_M  | 5,040        | 304,36     | 306,18    | 306,13    | 305,43                    | 5,60                             | 306,12                     | 11,40                             | 306,65                      | 21,50                              | 306,94                      | 36,20                              | 305,78           | most                |
| PF_69_S  | 5,056        | 305,24     | 306,21    | 306,06    | 306,22                    | 5,60                             | 306,44                     | 11,40                             | 306,79                      | 21,50                              | 307,12                      | 36,20                              |                  | skluz               |
| PF_70    | 5,111        | 305,96     | 306,91    | 307,23    | 306,81                    | 5,60                             | 307,13                     | 11,40                             | 307,35                      | 21,50                              | 307,59                      | 36,20                              |                  |                     |
| PF_71    | 5,207        | 307,13     | 308,22    | 308,15    | 307,81                    | 5,60                             | 308,09                     | 11,40                             | 308,40                      | 21,50                              | 308,68                      | 36,20                              |                  |                     |
| PF_72    | 5,272        | 307,86     | 308,89    | 309,17    | 308,62                    | 5,60                             | 309,12                     | 11,40                             | 309,56                      | 21,50                              | 309,71                      | 36,20                              |                  |                     |
| PF_73_S  | 5,285        | 307,95     | 309,84    | 310,04    | 308,81                    | 5,60                             | 309,25                     | 11,40                             | 309,80                      | 21,50                              | 310,26                      | 36,20                              |                  | stupeň              |
| PF_74    | 5,300        | 308,97     | 311,50    | 311,13    | 309,56                    | 5,60                             | 309,82                     | 11,40                             | 310,20                      | 21,50                              | 311,34                      | 36,20                              |                  |                     |
| PF_75_S  | 5,310        | 309,73     | 311,50    | 311,61    | 310,82                    | 5,60                             | 311,17                     | 11,40                             | 311,57                      | 21,50                              | 311,95                      | 36,20                              |                  | stupeň              |
| PF_76    | 5,339        | 310,38     | 311,92    | 311,93    | 311,41                    | 5,60                             | 311,60                     | 11,40                             | 311,92                      | 21,50                              | 312,24                      | 36,20                              |                  |                     |
| PF_77_S  | 5,347        | 310,92     | 312,18    | 312,23    | 311,98                    | 5,60                             | 312,31                     | 11,40                             | 312,74                      | 21,50                              | 313,26                      | 36,20                              |                  | stupeň              |
| PF_78_M  | 5,352        | 311,05     | 312,66    | 312,68    | 312,08                    | 5,60                             | 312,73                     | 11,40                             | 313,00                      | 21,50                              | 313,29                      | 36,20                              | 312,28           | most                |
| PF_79    | 5,368        | 311,36     | 313,11    | 313,98    | 312,23                    | 5,60                             | 312,83                     | 11,40                             | 313,26                      | 21,50                              | 313,62                      | 36,20                              |                  |                     |
| PF_80_S  | 5,381        | 313,02     | 314,00    | 314,82    | 314,06                    | 5,60                             | 314,44                     | 11,40                             | 314,90                      | 21,50                              | 315,32                      | 36,20                              |                  | stupeň              |
| PF_81    | 5,386        | 313,15     | 314,31    | 315,22    | 314,11                    | 5,60                             | 314,68                     | 11,40                             | 315,09                      | 21,50                              | 315,53                      | 36,20                              |                  |                     |
| PF_82_S  | 5,394        | 313,89     | 315,09    | 315,78    | 314,92                    | 5,60                             | 315,23                     | 11,40                             | 315,56                      | 21,50                              | 315,96                      | 36,20                              |                  | stupeň              |
| PF_83    | 5,400        | 313,93     | 315,53    | 316,20    | 314,97                    | 5,60                             | 315,38                     | 11,40                             | 315,91                      | 21,50                              | 316,38                      | 36,20                              |                  |                     |
| PF_84_S  | 5,411        | 315,17     | 316,22    | 316,29    | 316,21                    | 5,60                             | 316,52                     | 11,40                             | 316,88                      | 21,50                              | 317,21                      | 36,20                              |                  | stupeň              |
| PF_85    | 5,421        | 315,35     | 316,68    | 317,56    | 316,51                    | 5,60                             | 316,90                     | 11,40                             | 317,23                      | 21,50                              | 317,60                      | 36,20                              |                  |                     |
| PF_86    | 5,425        | 315,33     | 316,87    | 317,71    | 316,54                    | 5,60                             | 316,95                     | 11,40                             | 317,33                      | 21,50                              | 317,79                      | 36,20                              |                  |                     |
| PF_87_DV | 5,510        | 316,29     | 317,78    | 318,64    | 317,13                    | 5,60                             | 317,51                     | 11,40                             | 317,97                      | 21,50                              | 318,35                      | 36,20                              |                  |                     |
| PF_87_S  | 5,511        | 316,84     | 317,77    | 317,86    | 317,76                    | 5,60                             | 317,94                     | 11,40                             | 318,20                      | 21,50                              | 318,52                      | 36,20                              |                  | stupeň – odběr vody |
| PF_88_L  | 5,536        | 316,91     | 318,90    | 318,98    | 317,86                    | 5,60                             | 318,22                     | 11,40                             | 318,45                      | 21,50                              | 318,82                      | 36,20                              |                  |                     |
| PF_88_M  | 5,549        | 317,03     | 318,98    | 318,97    | 318,87                    | 5,60                             | 319,18                     | 11,40                             | 319,34                      | 21,50                              | 319,52                      | 36,20                              | 318,06           | most silnice I/27   |
| PF_89_S  | 5,560        | 317,31     | 319,33    | 319,34    | 318,92                    | 5,60                             | 319,26                     | 11,40                             | 319,49                      | 21,50                              | 319,71                      | 36,20                              |                  | skluz               |
| PF_90    | 5,593        | 318,89     | 319,81    | 320,42    | 319,57                    | 5,60                             | 319,96                     | 11,40                             | 320,44                      | 21,50                              | 320,78                      | 36,20                              |                  |                     |
| PF_91_M  | 5,725        | 326,02     | 327,38    | 327,35    | 326,63                    | 5,60                             | 326,96                     | 11,40                             | 327,59                      | 21,50                              | 327,77                      | 36,20                              | 327,08           | most                |
| PF_92_S  | 5,732        | 326,52     | 327,20    | 327,46    | 327,46                    | 5,60                             | 327,72                     | 11,40                             | 328,10                      | 21,50                              | 328,49                      | 36,20                              |                  | stupeň              |
| PF_93    | 5,756        | 327,20     | 329,09    | 328,17    | 328,08                    | 5,60                             | 328,35                     | 11,40                             | 328,81                      | 21,50                              | 329,15                      | 36,20                              |                  |                     |
| PF_94_M  | 5,792        | 328,12     | 329,49    | 329,52    | 328,84                    | 5,60                             | 329,13                     | 11,40                             | 329,71                      | 21,50                              | 329,84                      | 36,20                              | 329,22           | most                |
| PF_95_DV | 5,828        | 328,74     | 330,84    | 330,21    | 329,62                    | 5,60                             | 330,13                     | 11,40                             | 330,52                      | 21,50                              | 330,75                      | 36,20                              |                  |                     |

ZPRACOVÁNÍ MAP POVODŇOVÉHO NEBEZPEČÍ A POVODŇOVÝCH RIZIK PRO OBLAST POVODÍ OHŘE A DOLNÍHO LABĚ  
B. TECHNICKÁ ZPRÁVA – HYDRODYNAMICKÉ MODELY A MAPY POVODNOVÉHO NEBEZPEČÍ

|                 |       |        |        |        |        |      |        |       |        |       |        |       |        |                             |
|-----------------|-------|--------|--------|--------|--------|------|--------|-------|--------|-------|--------|-------|--------|-----------------------------|
| <b>PF_95_S</b>  | 5,830 | 329,13 | 330,84 | 330,22 | 330,16 | 5,60 | 330,49 | 11,40 | 330,88 | 21,50 | 331,18 | 36,20 |        | stupeň                      |
| <b>PF_96_DV</b> | 5,839 | 329,39 | 331,03 | 330,41 | 330,38 | 5,60 | 330,70 | 11,40 | 331,15 | 21,50 | 331,48 | 36,20 |        |                             |
| <b>PF_96_S</b>  | 5,841 | 329,87 | 331,03 | 330,56 | 330,62 | 5,60 | 330,87 | 11,40 | 331,29 | 21,50 | 331,74 | 36,20 |        | stupeň                      |
| <b>PF_97_DV</b> | 5,868 | 330,15 | 331,84 | 331,79 | 331,12 | 5,60 | 331,69 | 11,40 | 332,08 | 21,50 | 332,27 | 36,20 |        |                             |
| <b>PF_97_S</b>  | 5,871 | 330,78 | 331,84 | 331,94 | 331,71 | 5,60 | 332,00 | 11,40 | 332,37 | 21,50 | 332,68 | 36,20 |        | stupeň                      |
| <b>PF_98</b>    | 5,985 | 337,69 | 338,96 | 338,52 | 338,27 | 5,60 | 338,52 | 11,40 | 338,79 | 21,50 | 339,02 | 36,20 |        |                             |
| <b>PF_99_S</b>  | 5,990 | 338,15 | 339,03 | 338,74 | 339,12 | 5,60 | 339,50 | 11,40 | 340,03 | 21,50 | 340,62 | 36,20 |        | stupeň                      |
| <b>PF_100_M</b> | 5,995 | 337,95 | 339,01 | 338,94 | 339,15 | 5,60 | 339,53 | 11,40 | 340,07 | 21,50 | 340,74 | 36,20 | 338,80 | most                        |
| <b>PF_101</b>   | 6,022 | 338,11 | 339,33 | 339,49 | 339,33 | 5,60 | 339,63 | 11,40 | 340,11 | 21,50 | 340,76 | 36,20 |        |                             |
| <b>PF_102</b>   | 6,059 | 338,78 | 339,50 | 339,75 | 339,67 | 5,60 | 339,87 | 11,40 | 340,20 | 21,50 | 340,81 | 36,20 |        |                             |
| <b>PF_103_M</b> | 6,125 | 339,92 | 341,56 | 341,74 | 340,73 | 5,60 | 341,43 | 11,40 | 341,88 | 21,50 | 342,10 | 36,20 | 340,90 | most                        |
| <b>PF_104</b>   | 6,145 | 340,27 | 342,04 | 342,15 | 341,33 | 5,60 | 341,98 | 11,40 | 342,53 | 21,50 | 342,74 | 36,20 |        |                             |
| <b>PF_105_S</b> | 6,149 | 341,26 | 342,29 | 342,20 | 342,26 | 5,60 | 342,33 | 11,40 | 342,58 | 21,50 | 342,90 | 36,20 |        | skluz                       |
| <b>PF_106</b>   | 6,154 | 341,30 | 341,71 | 342,27 | 342,44 | 5,60 | 342,58 | 11,40 | 342,74 | 21,50 | 342,94 | 36,20 |        |                             |
| <b>PF_107_S</b> | 6,158 | 341,35 | 342,55 | 342,62 | 342,74 | 5,60 | 342,80 | 11,40 | 342,87 | 21,50 | 343,12 | 36,20 |        | stupeň – odběr vody         |
| <b>PF_108</b>   | 6,173 | 341,57 | 342,89 | 342,91 | 342,94 | 5,60 | 343,23 | 11,40 | 343,54 | 21,50 | 343,78 | 36,20 |        | konec zatrubnění            |
| <b>PF109_DV</b> | 6,238 | 342,60 | 344,94 | 344,98 | 343,98 | 5,60 | 345,00 | 11,40 | 345,29 | 21,50 | 345,57 | 36,20 |        |                             |
| <b>PF_109_S</b> | 6,240 | 344,61 | 346,00 | 346,03 | 345,69 | 5,60 | 346,08 | 11,40 | 346,20 | 21,50 | 346,32 | 36,20 |        | stupeň – začátek zatrubnění |
| <b>PF_110</b>   | 6,278 | 345,13 | 346,05 | 346,14 | 346,23 | 5,60 | 346,45 | 11,40 | 346,72 | 21,50 | 346,97 | 36,20 |        |                             |
| <b>PF_111_Q</b> | 6,391 | 347,65 | 349,09 | 348,72 | 348,63 | 5,60 | 348,90 | 11,40 | 349,23 | 21,50 | 349,57 | 36,20 |        | soutok s Poustevnickým p.   |
| <b>PF_112_L</b> | 6,403 | 347,95 | 349,85 | 349,87 | 348,72 | 2,42 | 348,99 | 4,91  | 349,32 | 9,30  | 349,81 | 15,70 | 349,60 | lávka                       |
| <b>PF_113_n</b> | 6,413 | 348,23 | 349,88 | 351,43 | 349,01 | 2,42 | 349,37 | 4,91  | 349,80 | 9,30  | 350,42 | 15,70 |        |                             |
| <b>PF_114_S</b> | 6,418 | 349,53 | 350,29 | 351,52 | 350,27 | 2,42 | 350,55 | 4,91  | 350,90 | 9,30  | 351,28 | 15,70 |        | skluz                       |
| <b>PF_115</b>   | 6,431 | 349,92 | 351,14 | 352,18 | 350,71 | 2,42 | 351,08 | 4,91  | 351,46 | 9,30  | 351,82 | 15,70 |        |                             |
| <b>PF_116_S</b> | 6,433 | 350,81 | 351,55 | 352,07 | 351,63 | 2,42 | 351,81 | 4,91  | 352,05 | 9,30  | 352,28 | 15,70 |        | skluz                       |
| <b>PF_117_M</b> | 6,436 | 350,96 | 351,61 | 351,78 | 351,79 | 2,42 | 351,93 | 4,91  | 352,10 | 9,30  | 352,32 | 15,70 | 351,46 | most                        |
| <b>PF_118_L</b> | 6,502 | 352,47 | 353,73 | 354,56 | 353,35 | 2,42 | 353,51 | 4,91  | 354,31 | 9,30  | 354,37 | 15,70 | 353,57 | lávka                       |
| <b>PF_119</b>   | 6,557 | 353,40 | 355,60 | 355,13 | 354,17 | 2,42 | 354,48 | 4,91  | 354,83 | 9,30  | 355,19 | 15,70 |        |                             |
| <b>PF_120</b>   | 6,561 | 354,30 | 355,75 | 355,11 | 354,81 | 2,42 | 355,03 | 4,91  | 355,26 | 9,30  | 355,48 | 15,70 |        |                             |
| <b>PF_121</b>   | 6,562 | 354,60 | 355,43 | 355,29 | 355,19 | 2,42 | 355,38 | 4,91  | 355,57 | 9,30  | 355,79 | 15,70 |        |                             |
| <b>PF_122</b>   | 6,575 | 355,13 | 356,18 | 356,18 | 355,50 | 2,42 | 355,74 | 4,91  | 356,09 | 9,30  | 356,42 | 15,70 |        |                             |
| <b>PF_123</b>   | 6,698 | 361,80 | 363,37 | 363,13 | 362,24 | 2,42 | 362,52 | 4,91  | 363,00 | 9,30  | 363,38 | 15,70 |        |                             |
| <b>PF_124</b>   | 6,754 | 364,43 | 365,15 | 365,14 | 364,83 | 2,42 | 365,07 | 4,91  | 365,29 | 9,30  | 365,56 | 15,70 |        |                             |
| <b>PF_125_M</b> | 6,784 | 364,89 | 365,88 | 365,87 | 365,59 | 2,42 | 366,12 | 4,91  | 366,32 | 9,30  | 366,48 | 15,70 | 365,68 | most                        |
| <b>PF_126_M</b> | 6,818 | 365,70 | 367,19 | 367,12 | 366,53 | 2,42 | 366,88 | 4,91  | 367,22 | 9,30  | 367,65 | 15,70 | 366,98 | most                        |

ZPRACOVÁNÍ MAP POVODŇOVÉHO NEBEZPEČÍ A POVODŇOVÝCH RIZIK PRO OBLAST POVODÍ OHŘE A DOLNÍHO LABĚ  
B. TECHNICKÁ ZPRÁVA – HYDRODYNAMICKÉ MODELY A MAPY POVODNOVÉHO NEBEZPEČÍ

|                 |       |        |        |        |        |      |        |      |        |      |        |       |        |                    |
|-----------------|-------|--------|--------|--------|--------|------|--------|------|--------|------|--------|-------|--------|--------------------|
| <b>PF_127_M</b> | 6,857 | 367,55 | 368,54 | 368,54 | 368,00 | 2,42 | 368,39 | 4,91 | 368,95 | 9,30 | 369,21 | 15,70 |        |                    |
| <b>PF_127_S</b> | 6,862 | 367,97 | 368,59 | 368,61 | 368,56 | 2,42 | 368,70 | 4,91 | 369,03 | 9,30 | 369,45 | 15,70 |        | stupeň             |
| <b>PF_128</b>   | 6,878 | 368,32 | 369,33 | 369,40 | 368,99 | 2,42 | 369,02 | 4,91 | 369,57 | 9,30 | 369,83 | 15,70 |        |                    |
| <b>PF_129_S</b> | 6,884 | 369,00 | 369,60 | 369,59 | 369,65 | 2,42 | 369,84 | 4,91 | 370,09 | 9,30 | 370,32 | 15,70 |        | stupeň             |
| <b>PF_130</b>   | 6,900 | 369,43 | 370,21 | 370,12 | 370,06 | 2,42 | 370,30 | 4,91 | 370,60 | 9,30 | 370,85 | 15,70 |        |                    |
| <b>PF_131_S</b> | 6,905 | 370,03 | 370,58 | 370,65 | 370,63 | 2,42 | 370,76 | 4,91 | 370,93 | 9,30 | 371,09 | 15,70 |        | stupeň             |
| <b>PF_132VY</b> | 6,915 | 370,22 | 371,98 | 371,98 | 370,71 | 2,42 | 370,98 | 4,91 | 371,29 | 9,30 | 371,64 | 15,70 |        | výtok z propustku  |
| <b>PF_132VT</b> | 6,928 | 370,40 | 371,98 | 371,98 | 371,68 | 2,42 | 372,08 | 4,91 | 372,23 | 9,30 | 372,34 | 15,70 |        |                    |
| <b>PF_133_M</b> | 6,941 | 370,87 | 372,72 | 372,53 | 372,55 | 2,42 | 372,79 | 4,91 | 372,92 | 9,30 | 373,06 | 15,70 | 371,87 | most – zatrubnění  |
| <b>PF_134</b>   | 6,944 | 371,33 | 372,62 | 373,43 | 372,55 | 2,42 | 372,79 | 4,91 | 372,93 | 9,30 | 373,07 | 15,70 |        |                    |
| <b>PF_135</b>   | 6,973 | 372,25 | 373,19 | 374,29 | 372,98 | 2,42 | 373,18 | 4,91 | 373,53 | 9,30 | 373,94 | 15,70 |        |                    |
| <b>PF_136_S</b> | 6,976 | 373,17 | 374,46 | 374,62 | 373,75 | 2,42 | 374,01 | 4,91 | 374,31 | 9,30 | 374,61 | 15,70 |        | skluz              |
| <b>PF_137_L</b> | 6,981 | 373,18 | 374,42 | 374,32 | 373,85 | 2,42 | 374,16 | 4,91 | 374,55 | 9,30 | 374,87 | 15,70 | 374,06 | lávka              |
| <b>PF_138DV</b> | 6,990 | 373,18 | 375,26 | 376,52 | 374,13 | 2,42 | 374,48 | 4,91 | 374,92 | 9,30 | 375,43 | 15,70 |        |                    |
| <b>PF_138HR</b> | 6,997 | 375,81 | 376,41 | 376,52 | 376,13 | 2,42 | 376,32 | 4,91 | 376,51 | 9,30 | 376,63 | 15,70 |        | štěrková přehrážka |

LB (mnm) úroveň levého břehu v m n. m.

PB (mnm) úroveň pravého břehu v m n. m.

Hl. (mnm) úroveň hladiny v m n. m.

## 6.1 Záplavové čáry pro průtoky Q<sub>5</sub>, Q<sub>20</sub>, Q<sub>100</sub> a Q<sub>500</sub>

Z vypočítaných úrovní hladiny v jednotlivých profilech byl interpretován průběh záplavové čáry. Z tohoto znázornění a z průběhu hladin v podélém profilu je patrný rozsah zatápených ploch a objektů. Dále se tímto způsobem zjistí překážky průtoku, které působí patrné vzdutí hladiny, jejichž odstraněním nebo rekonstrukcí je možno rozsah zátop redukovat.

Záplavové čáry jsou vyneseny na podkladě rastrové Základní mapy ČR v měřítku 1 : 10 000. Zakreslení záplavových čar, zejména mimo zaměřené příčné profily, zahrnuje nepřesnosti použité mapy. Snahou vyeliminovat nepřesnosti je užití bodového pole z DMT mimo zaměřené příčné profily. Při posouzení konkrétního místa je tedy rozhodující kóta hladiny odvozená z podélného profilu a skutečná nadmořská výška terénu posuzovaného místa.

Při aplikaci výsledků výpočtu je nutno si uvědomit, že přírodní třírozměrný v čase proměnný děj je popisován stacionárním jednorozměrným matematickým výpočtem s použitím mnoha zjednodušujících předpokladů a odhadů. Přesnost výpočtu je limitována zejména hustotou příčných profilů použitých k výpočtu a odhadem drsnostního součinitele.

Hodnoty úrovni hladin získané interpolací mezi jednotlivými výpočtovými příčnými profily nemusí odpovídat skutečnosti.

Nejsou zde postiženy jevy běžně se vyskytující při povodních - hladina v inundaci nemusí být v jednom příčném profilu stejná jako v korytě, v obloucích dochází k příčnému převýšení hladiny, hladina je rozvlněná, atd.

Výpočet je proveden pro ideální stav koryta. Není započítáno ucpání průtočného profilu plaveným materiélem, které hrozí zejména v mostních profilech. Vliv na proudění má i sezónní stav vegetačního pokryvu, při výpočtu bylo uvažováno s vegetací v plném vegetačním období.

Výsledky tohoto výpočtu nejsou neměnné. Může dojít ke změnám vlivem zpřesnění topografických podkladů, změny hydrologických údajů, použitím přesnějších výpočetních modelů, nebo vlivem změn v průtočném profilu toku.

Záplavové území tohoto toku je díky jeho charakteru – přeložka původního toku vedená mimo údolníci, poměrně atypické a je tvořeno mnoha bočními přerony a proudy jež vedou mimo vlastní koryto a v některých případech se do koryta již nevrací. Analýzou průniku maximálního rozlivu (při průtoku Q<sub>500</sub>) a správních území byly zajištěny informace o dotčených správních území obcí uvedené v následující tabulce.

Tab. č. 6.2 Dotčené správní území obcí maximálním rozlivem

| Kód ORP | Název ORP | Kód ICOB | Název obce        |
|---------|-----------|----------|-------------------|
| 4206    | Litvínov  | 567256   | Litvínov          |
| 4206    | Litvínov  | 567272   | Louka u Litvínova |

## 6.2 Hloubky pro průtoky Q<sub>5</sub>, Q<sub>20</sub>, Q<sub>100</sub> a Q<sub>500</sub>

Určení hloubek pro jednotlivé povodňové scénáře je provedeno v prostředí ArcGIS, jako rozdíl digitálního modelu hladiny a digitálního modelu terénu. Digitální model hladiny byl vytvořen lineární interpolací hladin mezi jednotlivými příčnými profily, které byly převzaty z hydraulického modelu. Výsledkem je rastr hloubek o velikosti pixlu 2 x 2 m. Mapa hloubek se následně ořízne záplavovou čárou pro daný scénář.

## 6.3 Rychlosti pro průtoky Q<sub>5</sub>, Q<sub>20</sub>, Q<sub>100</sub> a Q<sub>500</sub>

Při výpočtu nerovnoměrného proudění byly z výpočetního programu Hydrocheck exportovány pro jednotlivé profily a jednotlivé průtokové epizody průměrné celoprofilové rychlosti. Takto získaná hodnota rychlosti pak byla v GIS přiřazena jako bodová informace průsečíku daného příčného řezu a osy toku.

Pro každý profil a jednu průtokovou epizodu tak byla získána informace o rychlosti, celkem tedy pro každý profil 4 hodnoty rychlosti (Q<sub>5</sub> – Q<sub>500</sub>). U složených profili, je celoprofilová průměrná rychlosť vypočtena jako vážený průměr z odpovídajících hodnot dílčích profili, přičemž je zohledněna velikost průtoků jednotlivými dílčími profily.

## 6.4 Zhodnocení nejistot ve výsledcích výpočtů

Jak bylo uvedeno výše, výpočetní model 1D je vždy schematizací skutečnosti. Hlavní míra nejistoty však neplyne ze špatného odhadu drsnostních charakteristik, nebo nedostatečně popsané topologie území a koryta, ale ze vstupních průtokových dat, jejichž přesnost je nezřídka v rozmezí  $\pm 40 - 60\%$  dle uvedené třídy přesnosti. Dalším již zmíněným faktorem, s ním model nepočítá, je množství plavenin, které postupují tokem při povodni, ať už se jedná například o ledové kry nebo antropogenní materiál či dřevní hmotu. Tyto plaveniny, pak zejména v prostoru objektů mohou způsobit naprosto převratné změny průtočného profilu (částečné nebo úplné ucpání), které pak mají na průběh hladiny zásadní vliv.

Pokud však odhlédneme od nejistot způsobených nepřesnými hydrologickými daty a budeme vztahovat rozsah záplavového území ke konkrétnímu průtoku (a nikoliv k deklarované četnosti povodně) a budeme postupovat v souladu s Metodikou stanovení SZÚ, tedy výpočet bez plavenin, můžeme konstatovat, že vypovídací schopnost modelu je značně vysoká. Největší ovlivnění hladin nastává v místech objektů, jejichž nesprávné posouzení, či špatně provedený výpočet ve vztahu k zatopení dolní vodou, má na úroveň hladiny zásadní vliv. Poměrně významné je i ovlivnění výpočtu chybně umístěnými dílčími profily v příčném řezu, naopak chybný odhad drsnosti byť v řádu desítek procent se ve volné trati dramaticky neprojeví.